

روشی برای تولید ماتریسهای مولد کدهای بلوکی و LDPC کوانتومی

معین سروقد مقدم^۱، منیره هوشمند^۲، حسین آقابابا^۳

^۱ کارشناسی ارشد برق الکترونیک، دانشگاه سمنان، moeinsarvaghad@yahoo.com

^۲ استادیار دانشکده مهندسی برق، دانشگاه بین‌المللی امام رضا (ع)، ir.hooshmand@imamreza.ac.ir

^۳ استادیار دانشکده مهندسی برق، پردیس فارابی، دانشگاه تهران، aghababa@ut.ac.ir

چکیده

سیستمهای کوانتومی از لحاظ نظری دارای قدرت زیادی در زمینه پردازش و ارسال اطلاعات می‌باشند. اما برهم کنش آنها با محیط بیرون، یک مانع بزرگ در مسیر تحقق عملی آنها است. کدهای پایدارساز بلوکی کوانتومی، برای غلبه بر مشکل مذکور طراحی شده‌اند. هر کد بلوکی کوانتومی با یک ماتریس دودویی با مشخصات خاص موسوم به ماتریس مولد توصیف می‌شود. اگر چه پژوهش‌های بسیاری در رابطه با ویژگی‌های کدهای تصحیح خطا با یک ماتریس مولد مفروض انجام گرفته است، اما تاکنون روشی برای پیدا کردن ماتریس‌های مولد در حالت کلی ارائه نشده است. در این مقاله روشی برای تولید ماتریس‌های مولد به کمک الگوریتم‌های ژنتیک ارائه شده است، سپس الگوریتم برای یافتن ماتریسهای مولد کدهای LDPC تغییر یافته است. نتایج شبیه‌سازی در نرم افزار MATLAB نشان از کارایی این الگوریتم می‌باشد که می‌تواند به عنوان یک روش کلی و سریع، نسبت به روش‌های ریاضیاتی، پیچیده و محدود گزارش شده مورد استفاده قرار گیرد.

کلیدواژه

کدهای پایدارساز بلوکی کوانتومی، ماتریس مولد، الگوریتم‌های ژنتیک، کدهای LDPC کوانتومی.

مقدمه

هر کد کوانتومی که k کیوبیت را به n کیوبیت کد کند، با یک ماتریس دودویی با ابعاد $(n - k)$ در 2×2 توصیف می‌گردد. این ماتریس به ماتریس مولد^[۱] موسوم است. این ماتریس، مطابق رابطه (۱) از دو زیر ماتریس X و Z به ابعاد $(n - k)$ در n تشکیل شده است.

$$G = [X|Z] \quad (1)$$

سطرهای ماتریس G مستقل خطی بوده و زیر ماتریس‌های X و Z قید رابطه (۲) را ارضا می‌کنند.

$$X.Z^T + Z.X^T = 0 \quad (2)$$

که Z^T ترانزپوز ماتریس Z بوده و جمع به پیمانه دو انجام می‌شود. کدهایی که ماتریس مولد آنها پراکنده^۷ بوده (تعداد "۱" ها به نسبت ابعاد ماتریس بسیار کم باشد) به کدهای

علی‌رغم قدرت نظری سیستم‌های کوانتومی، یک مانع بزرگ در مسیر تحقق عملی آنها وجود دارد و آن برهم کنش سیستم کوانتومی با محیط بیرون است که منجر به تغییر ناخواسته اطلاعات می‌شود. نظریه تصحیح خطای کوانتومی برای غلبه بر مشکل مذکور پیشنهاد شد. در سال ۱۹۹۷، با کشف کدهای بلوکی پایدارساز کوانتومی^[۱]، تحولی شگرف در زمینه نظریه تصحیح خطای کوانتومی رخ داد. کدهای پایدارساز [۵-۲] یک دسته مهم از کدهای اصلاح خطای کوانتومی^[۲] (QECC) را تشکیل می‌دهند. برخی از این کدها عبارتند از: کد BCH^[۶]، [۷]، کد رید-سالومان^[۸]، کد کانولوشنال^[۹]، [۱۰]، کد turbo [۱۱] و کد LDPC [۱۶-۱۳].

^۵ Generator Matrix
^۶ Transposed
^۷ Sparse

^۱ Quantum Stabilizer Code
^۲ quantum error-correcting codes
^۳ Reed-Solomon
^۴ convolutional

محاسبات کوانتومی بر اساس مفهومی معادل بیت در دنیای کلاسیک، پایه گذاری شده است که به آن بیت کوانتومی^{۱۱} یا کیوبیت^{۱۲} می گویند. در فضای هیلبرت دو بعدی، یک کیوبیت بصورت $|0\rangle = \begin{bmatrix} 1 \\ 0 \end{bmatrix}$ و $|1\rangle = \begin{bmatrix} 0 \\ 1 \end{bmatrix}$ نشان داده می شود، که بترتیب همتای کوانتومی بیت های کلاسیک ۰ و ۱ هستند. برخلاف بیت های کلاسیک، کیوبیت ها می توانند در هر برهم نهی مانند $|\alpha\rangle + \beta|1\rangle$ قرار بگیرند، که α و β اعداد مختلطی هستند و $|\alpha|^2 + |\beta|^2 = 1$.

یک تحول (دروازه) کوانتومی با یک ماتریس یکانی U^3 توصیف می شود. در تعریف کدهای پایدارساز از دروازه های پائولی^{۱۴} استفاده می شود. دروازه های پائولی از چهار عملگر I, X, Y تبدیل همانی، X ، دروازه چرخش بیت، Z ، دروازه چرخش فاز و Y که ترکیبی از X و Z می باشد، تشکیل شده است. عملگرهای پائولی n کیوبیتی از ضرب تانسوری^{۱۵} n دروازه پائولی تشکیل می شوند. رابطه (۳)، نمایش ماتریسی دروازه های پائولی را نشان می دهد.

$$X = \begin{pmatrix} 0 & 1 \\ 1 & 0 \end{pmatrix}, Y = \begin{pmatrix} 0 & -i \\ i & 0 \end{pmatrix}, Z = \begin{pmatrix} 1 & & & \\ & -1 & & \\ & & 1 & \\ & & & -1 \end{pmatrix} \quad (3)$$

عملگرهای پائولی که بر n کیوبیت اثر می کنند، از ضرب تانسوری n دروازه پائولی تشکیل می شوند.

کدهای پایدارساز

یک کد کوانتومی که k کیوبیت اطلاعات، $|\Phi\rangle$ را با کمک $(n-k)$ کیوبیت کمکی^{۱۶} $|0\rangle$ به n کیوبیت فیزیکی^{۱۷} تبدیل می کند با نماد $[n, k]$ نمایش داده شده و به صورت فضای بردار ویژه^{۱۸} $(n-k)$ مشترک عملگر پائولی n کیوبیتی $\{S_1, S_2, \dots, S_{n-k}\}$ با مقدار ویژه $+1$ تعریف می گردد. این عملگرها بایستی مستقل^{۱۹} و جابه جاپذیر^{۲۰} باشند. منظور از استقلال عملگرها، به این معنی است که هیچ عملگری از حاصل ضرب سایر عملگرها به دست نیاید. جابه جاپذیر بودن دو عملگر S_i و S_j به معنی برقرار رابطه زیر است:

$$S_i S_j = S_j S_i \quad (4)$$

به عنوان مثال پایدارسازهای کد پنج کیوبیتی^[۲۱] به صورت رابطه (۵) هستند:

$$\begin{aligned} S_1 &= XZZXI \\ S_2 &= IXZZX \\ S_3 &= XIXZZ \\ S_4 &= ZXIXZ \end{aligned} \quad (5)$$

LDPC معروف هستند. کدهای LDPC کوانتومی، همانند همتای کلاسیک خود با پیچیدگی بسیار کمتر کدبرداری شده و در نرخی نزدیک به ظرفیت کانال^{۲۱} کار می کنند [۱۶-۱۳].

تاکنون پژوهش های بسیاری برای بررسی مشخصه های تصحیح خطا و پیاده سازی عملی یک کد با ماتریس مولد مفروض انجام شده است، [۱۷, ۱۸]. اما تاکنون تنها در مقاله [۱۹] روشی برای پیدا کردن زیر مجموعه کوچکی از ماتریس های مولد در ساختارهای خاص ارائه شده است. در این مقاله یک ساختار ساده برای ایجاد یک کد پایدارساز با استفاده از یک ماتریس اختیاری اولیه، مطرح شده است. در این روش یک رابطه بین A_1 و A_2 از یک ماتریس بررسی دودویی^{۲۰} $A = (A_1 | A_2)$ وابسته به مولدهای پایدارساز از یک کد اصلاح خطای کوانتومی، تعریف می شود، سپس با استفاده از یک ماتریس باینری اختیاری، و توسط این رابطه، دو ماتریس A_1 و A_2 محاسبه می شوند. همچنین اخیرا در سال ۲۰۱۶ در [۲۰]، روشی برای تولید کدهای پایدارساز بلوکی کوانتومی با طول ۷ ارائه شده است.

در این مقاله روش کلی برای پیدا کردن و تولید ماتریس های مولد کدهای بلوکی کوانتومی به کمک الگوریتم های ژنتیک بیان می گردد. سپس با تغییر الگوریتم، روشی برای یافتن ماتریس های مولد کدهای LDPC کوانتومی ارائه می گردد. برای شبیه سازی روش مطرح شده از نرم افزار MATLAB استفاده می شود. نتایج شبیه سازی نشانگر کارایی الگوریتم های ژنتیک در یافتن ماتریس های مولد است.

ادامه مقاله به بخش های زیر تقسیم بندی می شود: در بخش ۲ توضیح مختصری درباره ی کدهای پایدارساز داده شده است، در بخش ۳ شرح مختصری از الگوریتم ژنتیک و نحوه ی عملکرد آن بیان شده است و سپس در بخش ۴ روش مطرح شده برای تولید ماتریس های مولد در پایدارسازهای بلوکی کوانتومی شرح داده می شود، سپس با تعمیم این روش، روشی برای تولید ماتریس های مولد در کدهای LDPC کوانتومی مطرح می شود. بخش ۵ مربوط به نتایج شبیه سازی و نتیجه گیری می باشد.

مفاهیم مقدماتی

در این بخش، ابتدا مفاهیم کیوبیت و گیت های کوانتومی شرح داده می شوند. سپس مفاهیم کدهای پایدار ساز و الگوریتم ژنتیک که در ادامه این مقاله مورد استفاده قرار می گیرند، توضیح داده می شوند.

کیوبیت و دروازه های کوانتومی

¹¹ Quatum Bit
¹² Qubit
¹³ Unitary
¹⁴ Pauli
¹⁵ Tensor Product
¹⁶ Ancilla
¹⁷ Physical
¹⁸ Eigen Value
¹⁹ Independent
²⁰ Commutative

²¹ Low Density Parity Check Matrix
²² Channel Capacity
²³ binary check matrix

شوند به آن یک نسل^{۲۵} می‌گویند. راه حل‌ها در الگوریتم ژنتیک معمولاً به صورت بیتی کدگذاری می‌شوند و هرکدام از سه عملگر فوق به صورت زیر عمل می‌کنند:

عملگر تقاطع بر اساس دو کروموزوم (والد) می‌تواند دو رشته را با هم ترکیب و از آنها کروموزوم جدید (فرزند) برای نسل بعدی به وجود آورد. در **عملگر جهش** نیز ممکن است بیتی، از یکی از رشته‌های جواب به صورت تصادفی انتخاب و سپس مقدار آن تغییر کند. در هر تکرار هر یک از رشته‌های موجود، رمزگشایی شده و مقدار تابع هدف^{۲۶} برای آن به دست می‌آید. بر اساس مقادیر به دست آمده تابع هدف در جمعیت رشته‌ها، به هر رشته یک عدد برازندگی نسبت داده می‌شود. این عدد برازندگی احتمال انتخاب را برای هر رشته تعیین خواهد کرد. و براساس **عملگر انتخاب**، تعدادی از جواب‌ها با توجه به مقدار برازندگی آنها برای نسل بعد انتخاب می‌شوند.

الگوریتم پیشنهادی

در این بخش، روش مطرح شده در این مقاله برای تولید ماتریس‌های مولد مورد استفاده در کدهای بلوکی کوانتومی شرح داده می‌شود.

هر کروموزوم یک ماتریس به صورت (۱) است که زیر ماتریس‌های X و Z هر کدام دارای $m = n - k$ سطر و n ستون می‌باشند. شکل (۱) روش کد کردن را نشان می‌دهد. در این روش تمامی درایه‌های ماتریس X و ماتریس Z به صورت پشت سرهم چیده می‌شوند، بنابراین طول هر کروموزوم $2 \times m$ می‌باشد.

x_{11}	...	x_{nm}	z_{11}	...	z_{nm}
----------	-----	----------	----------	-----	----------

شکل ۱. نحوه‌ی کدگذاری کروموزوم

برای پیدا کردن مقدار برازندگی مربوط به هر کروموزوم ابتدا ماتریس A ، به شکل زیر تعریف می‌گردد:

$$A = X \cdot Z^T + Z \cdot X^T \quad (۸)$$

a_{ij} درایه موجود در سطر i ام و ستون j ام ماتریس A ، از رابطه زیر محاسبه می‌گردد:

$$a_{ij} = \sum_{k=1}^n (x_{ik}z_{jk} + x_{jk}z_{ik}) \quad (۹)$$

که x_{ij} (z_{ij}) دلالت به درایه سطر i ام و ستون j ام در ماتریس X (Z) دارد.

همچنین برای برقراری قید (۲)، تابع برازندگی به صورت رابطه (۱۰) تعریف می‌گردد.

$$F_1(C) = \sum_{i=1}^n \sum_{j=1}^m (a_{ij}) \quad (۱۰)$$

کار با پایدارسازها در تحلیل کدهای پایدارساز کوانتومی سخت و نامفهوم است. روش توصیف دیگر برای پایدارسازها، استفاده از ماتریس مولد دودویی G [۲۱] به صورت رابطه زیر است.

$$G = [X|Z] \quad (۱)$$

هرکدام از زیر ماتریس‌های X و Z در ماتریس G ، سطرها متناظر با پایدارسازهای مختلف و ستون‌ها متناظر با کیوبیت‌های مختلف می‌باشند. نحوه تشکیل ماتریس دودویی نمایشگر کد از روی مجموعه پایدارساز به صورت زیر است:

- در هر کدام از پایدارسازها، در صورت وجود عملگر X یا Y ، درایه‌ی متناظر با مکان آن عملگر در پایدارساز، در زیر ماتریس X یک قرار داده می‌شود. همچنین در صورت وجود عملگر Z یا Y درایه‌ی متناظر در زیر ماتریس Z نیز یک در نظر گرفته می‌شود. سایر درایه‌های ماتریس صفر می‌باشد. به عنوان مثال، ماتریس دودویی G برای کد پنج کیوبیتی مذکور را به صورت رابطه‌ی (۷) می‌توان نوشت:

$$\begin{bmatrix} 1 & 0 & 0 & 1 & 0 & | & 0 & 1 & 1 & 0 & 0 \\ 0 & 1 & 0 & 0 & 1 & | & 0 & 0 & 1 & 1 & 0 \\ 1 & 0 & 1 & 0 & 0 & | & 0 & 0 & 0 & 1 & 1 \\ 0 & 1 & 0 & 1 & 0 & | & 1 & 0 & 0 & 0 & 1 \end{bmatrix} \quad (۷)$$

پایدارسازهای یک کد بلوکی کوانتومی جابه‌جاپذیر هستند. در ماتریس مولد دودویی نمایشگر کد وقتی شرط جابه‌جاپذیری برقرار است که قید رابطه (۱) برقرار باشد. همچنین شرط استقلال عملگرها، باعث می‌شود که ماتریس G ، مرتبه کامل باشد.

الگوریتم ژنتیک

الگوریتم‌های ژنتیک [۲۲، ۲۳]، الگوریتم‌های جستجوی تصادفی هستند که فرایند تکامل طبیعی را شبیه‌سازی می‌کنند. این الگوریتم‌ها، تکامل را با جمعیتی از افراد (کروموزوم) شروع کرده و با استفاده از مکانیسم‌های ایجاد تنوع و انتخاب طبیعی، جمعیت را به سمت جواب بهینه سوق می‌دهند.

در این روش، جستجو به صورت تصادفی با جمعیتی از راه حل‌های اولیه آغاز می‌شود. اگر معیارهای نهایی ارضا نشوند، از سه عملگر متفاوت انتخاب^{۲۲}، تقاطع^{۲۳} و جهش^{۲۴} برای بروز رسانی جمعیت استفاده می‌شود. هر بار که این سه عملگر تکرار

^{۲۱} population
^{۲۲} selection
^{۲۳} crossover
^{۲۴} mutation

^{۲۵} generation
^{۲۶} fitness function

عنوان نمونه، نتایج شبیه سازی برای ماتریس های با ابعاد ۵ در ۴۰ (کد با ۵ کیوبیت اطلاعات و ۲۰ کیوبیت فیزیکی)، ۱۰ در ۴۰ (کد با ۱۰ کیوبیت اطلاعات و ۲۰ کیوبیت فیزیکی) و ۱۰ در ۸۰ (کد با ۱۰ کیوبیت اطلاعات و ۴۰ کیوبیت فیزیکی) گزارش شده است. نتایج شبیه سازی نشان می دهند که برای سه حالت مفروض، الگوریتم با سرعت خوبی، (به طوریکه در نمودارهای مقدار برازندگی-نسل مربوط به هر ماتریس نشان داده شده است) ماتریس های مولد را پیدا می کند. در چندین نسل اول تابع برازندگی به مقدار صفر رسیده، و برای هر ماتریس با ابعاد در نظر گرفته شده، تعداد قابل توجهی ماتریس مولد را تولید می کند.

ماتریس های مولد کدهای بلوکی

در این بخش نتایج شبیه سازی الگوریتم برای تولید مولد کدهای بلوکی با ابعاد ۵ × ۴۰، ۱۰ × ۴۰ و ۱۰ × ۸۰ ارائه شده است. جدول ۱، تنظیمات الگوریتم ژنتیک برای هر یک از سه حالت ماتریس فوق را نشان می دهد. نمودارهای مقدار برازندگی-نسل نیز در شکل ۲ ارائه شده است. تعداد ماتریس های مولد به دست آمده برای ابعاد ۵ × ۴۰، ۱۰ × ۴۰ و ۱۰ × ۸۰، به ترتیب برابر ۲۱۷۳۵، ۲۰۹۶ و ۱۱۷۶ است. جدول ۲، نمونه ای از ماتریس های مولد به دست آمده در ابعاد مختلف را نشان می دهد. در جدول ۲، به علت کمبود فضای صفحه، معادل دهمی عدد موجود در درایه هر زیر ماتریس آورده شده است.

جدول ۱. تنظیمات الگوریتم ژنتیک برای یافتن ماتریس های مولد با ابعاد مختلف

اندازه ماتریس	۵ × ۴۰	۱۰ × ۴۰	۱۰ × ۸۰
نوع جمعیت	رشته بیت		
تعداد نسل ها	۵۰	۳۰۰	۵۰۰
تعداد جمعیت	۵۰	۳۰۰	۵۰۰

ماتریس های مولد کدهای LDPC کوانتومی

در این بخش، نتایج شبیه سازی برای تولید ماتریس های مولد کدهای LDPC با ابعاد ۵ × ۴۰، ۱۰ × ۴۰ و ۱۰ × ۸۰ ارائه می گردد. تعداد ماتریس های به دست آمده برای هر کدام از ابعاد به ترتیب برابر با ۴۸۴۰، ۳۴۱۱ و ۳۹۲۱ به دست آمده است. شکل ۳، نمودارهای برازندگی برحسب نسل را نشان می دهد که گویای عملکرد مطلوب و سریع الگوریتم های ژنتیک در یافتن ماتریس های مولد کدهای LDPC است. جدول ۳، نمونه ای از ماتریس های به دست آمده در هر کدام از ابعاد را

یعنی تابع برازندگی (۱۰) زمانی بهترین جواب را می دهد که مقدار آن صفر شود، به عبارتی ماتریس A ماتریس تماماً صفر شود یعنی شرط (۲) برقرار شود. برای این که شرط دوم، یعنی مستقل خطی بودن هر سطر با سطر دیگر در ماتریس مولد برقرار باشد، ابتدا مرتبه ماتریس متناظر با هر کروموزوم $(Rank(C))$ محاسبه می شود. اگر این مقدار با عدد $n - k$ برابر نباشد، مقدار جریمه ای تعریف می شود که به مقدار تابع برازندگی اضافه می گردد. (متغیر $penalty$ در تابع برازندگی در رابطه (۱۱)). برای تعیین مقدار جریمه یک روش معمول این است که به صورت تقریبی بیشترین مقدار تابع برازندگی محاسبه شده و سپس پنج برابر آن را به عنوان جریمه تعیین کنیم. مقدار متغیر $penalty$ در این مقاله ۱۰۰۰ در نظر گرفته می شود.

$$F_r(C) = \sum_{i=1}^n \sum_{j=1}^m (a_{ij}) + penalty \quad (11)$$

تابع برازندگی نهایی با احتساب شرط استقلال عملگرها در رابطه (۱۲) نشان داده شده است:

$$F(C) = \begin{cases} \sum_{i=1}^n \sum_{j=1}^m (a_{ij}) & \text{if } Rank(C) = n - k \\ \sum_{i=1}^n \sum_{j=1}^m (a_{ij}) + penalty & \text{if } Rank(C) \leq n - k \end{cases} \quad (12)$$

الگوریتم پیشنهادی برای کدهای LDPC کوانتومی

در این بخش تابع برازندگی را به گونه ای تغییر می دهیم که ماتریس های مولد کدهای LDPC کوانتومی را بیابد. از آنجا که ماتریس های مولد در این دسته از کدها پراکنده هستند، یعنی تعداد یک ها خیلی کمتر از صفرها هستند، شرطی را به صورت نسبت تعداد یک ها به صفرها ایجاد کردیم. (نسبت تعداد درایه های یک به کل درایه ها را ۰٫۲ فرض کردیم) چنانچه شرط نسبت تعداد یک به صفر برقرار نبود، یک مقدار جریمه متغیر به صورت (۱۳) تعریف کردیم که مقدار آن وابسته به تعداد یک ها تغییر می کند.

$$y = (nonzero1/total) * 1000 + 1000 \quad (13)$$

که در آن متغیرهای $total$ و $nonzero1$ به ترتیب، تعداد کل یک ها در ماتریس و کل درایه های ماتریس را نشان می دهند.

نتایج شبیه سازی

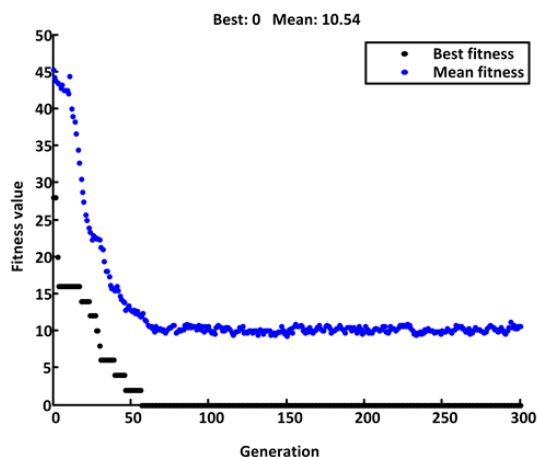
در این بخش الگوریتم پیشنهادی معرفی شده در بخش قبل، در نرم افزار MATLAB شبیه سازی شده و نتایج شبیه سازی برای ایجاد ماتریس های مولد کدهای بلوکی کوانتومی و کدهای LDPC کوانتومی به ترتیب در بخش های زیر ارائه می گردد. به

دهنده کارایی این الگوریتم در یافتن این ماتریس‌ها می‌باشد. که این روش می‌تواند به صورت یک روش کلی و ساده، جایگزین روش‌های محدود و ریاضیاتی معرفی شده [۱۹، ۲۰]، مورد استفاده قرار گیرد. به عنوان پژوهش آتی می‌توان از روشی برای تولید ماتریس‌های مولد سایر انواع کدهای کوانتومی، همانند کدهای پایدارساز کانولوشنال [۲۴، ۲۵] نام برد. کدهای کانولوشنال، کدهای حافظه‌دار هستند و ماتریس‌های مولد آن‌ها از توابع چند جمله‌ای تشکیل می‌شوند.

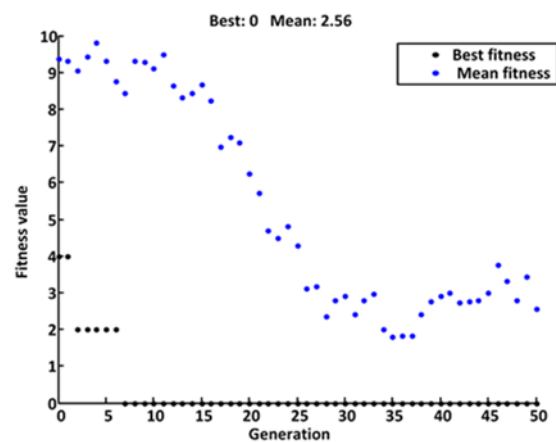
نشان می‌دهد. برای صرفه‌جویی در فضا، معادل دهدهی اعداد موجود در درایه‌های هر کدام از زیر ماتریس‌های X و Z آورده شده است. همچنین برای هر ماتریس تعداد درایه‌ها و تعداد یک‌های آن نیز گزارش شده است که نشان دهند پراکنده بودن ماتریس است. تنظیمات الگوریتم ژنتیک برای هر کدام از ابعاد مطابق جدول ۱ انجام شده است.

نتیجه‌گیری

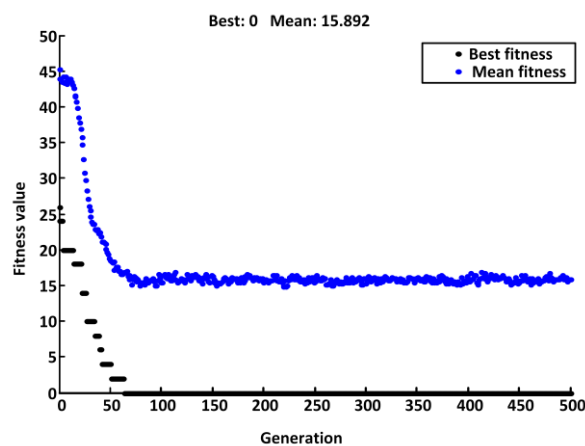
در این مقاله روشی برای پیدا کردن ماتریس‌های مولد کدهای پایدارساز بلوکی کوانتومی و کدهای LDPC به کمک الگوریتم‌های ژنتیک ارائه شده است. نتایج شبیه‌سازی، نشان



(ب)



(الف)

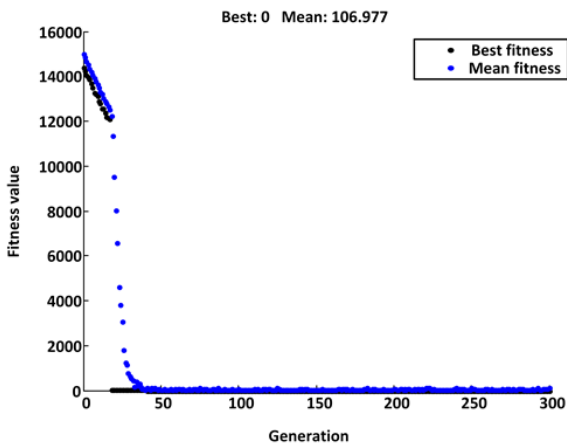


(ج)

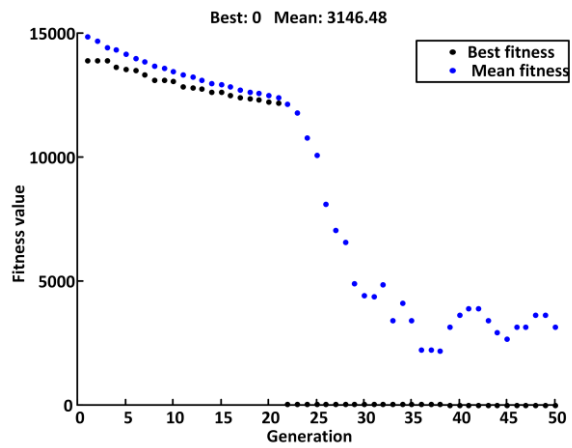
شکل ۲. نمودار تابع برازندگی برحسب تعداد نسل برای ماتریس‌های مولد کدهای بلوکی کوانتومی با ابعاد الف) 40×5 ب) 10×10 ج) 10×10

جدول ۲. نمونه خروجی ماتریس‌های مولد کدهای بلوکی از الگوریتم ژنتیک برای ابعاد مختلف

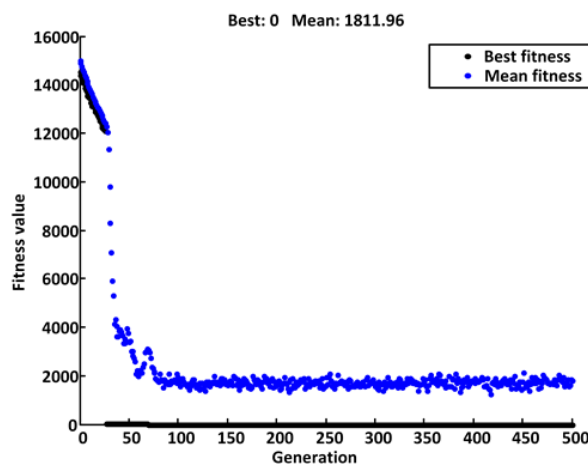
اندازه ماتریس	5×40	10×40	10×80
نمونه ماتریس	$\begin{pmatrix} 616691 & 428271 \\ 268180 & 723088 \\ 898315 & 576486 \\ 297884 & 43845 \\ 422399 & 697320 \end{pmatrix}$	$\begin{pmatrix} 766805 & 1042783 \\ 496972 & 593565 \\ 27207 & 512079 \\ 617689 & 717926 \\ 153004 & 973485 \\ 404177 & 17315 \\ 457821 & 549328 \\ 225039 & 474800 \\ 302046 & 309505 \\ 888909 & 884608 \end{pmatrix}$	$\begin{pmatrix} 7035778178012 & 533594030961 \\ 531939380191 & 184336666257 \\ 441329473421 & 1075365444471 \\ 136768205606 & 197162567899 \\ 752740674881 & 91527049086 \\ 493219015946 & 124509903435 \\ 206647055508 & 731564406036 \\ 484747545409 & 887932224936 \\ 133465039796 & 298442532676 \\ 809071660783 & 865064940906 \end{pmatrix}$



(ب)



(الف)



(ج)

شکل ۳. نمودار تابع برازندگی برحسب تعداد نسل برای ماتریس‌های مولد کدهای LDPC با ابعاد الف) 5×40 ب) 10×40 ج) 10×80

جدول ۳. نمونه خروجی ماتریس‌های مولد کدهای LDPC از الگوریتم ژنتیک برای ابعاد مختلف

$\begin{pmatrix} 550097659904 & 594064449616 \\ 1896230145 & 569091829040 \\ 139605053504 & 43101192449 \\ 42012705 & 447782896576 \\ 8782852 & 139152327244 \\ 19530787872 & 834264104972 \\ 554117922853 & 4297064640 \\ 4429877506 & 333952853128 \\ 2443390070 & 825195905556 \\ 824633731106 & 77309476880 \end{pmatrix}$	$\begin{pmatrix} 8 & 2 \\ 555 & 295976 \\ 140288 & 542756 \\ 4388 & 46848 \\ 114824 & 692416 \\ 852160 & 151584 \\ 1 & 640 \\ 1536 & 18 \\ 595744 & 4352 \\ 9264 & 525328 \end{pmatrix}$	$\begin{pmatrix} 264424 & 65543 \\ 20480 & 565760 \\ 262435 & 139264 \\ 263184 & 524823 \\ 32788 & 16512 \end{pmatrix}$	نمونه ماتریس
۸۰۰	۴۰۰	۲۰۰	تعداد درایه‌های ماتریس
۱۶۰	۷۴	۳۷	تعداد یک‌ها

[10] H. Ollivier and J.-P. Tillich, "Quantum convolutional codes: fundamentals," arXiv preprint quant-ph/0401134, 2004.

[11] D. Poulin, J.-P. Tillich, and H. Ollivier, "Quantum serial turbo codes," IEEE Transactions on Information Theory, vol. 55, pp. 2776-2798, 2009.

[12] M. M. Wilde and M.-H. Hsieh, "Entanglement boosts quantum turbo codes," in 2011 IEEE International Symposium on Information Theory Proceedings (ISIT), pp. 445-449, 2011.

[13] T. Camara, H. Ollivier, and J.-P. Tillich, "A class of quantum LDPC codes: construction and performances under iterative decoding," in IEEE International Symposium on Information Theory, ISIT pp. 811-815, 2007.

[14] M. Hagiwara and H. Imai, "Quantum quasi-cyclic LDPC codes," arXiv preprint quant-ph/0701020, 2007.

[15] D. J. MacKay, G. Mitchison, and P. L. McFadden, "Sparse-graph codes for quantum error correction," IEEE Transactions on Information Theory, vol. 50, pp. 2315-2330, 2004.

[16] M. S. Postol, "A proposed quantum low density parity check code," arXiv:quant-ph/0108131, 2001.

[17] M. Houshmand, M. Sarvaghad, and A. Karimi-lenji, "A novel approach for encoding quantum block stabilizer codes," in 16th CSI International Symposium on Computer Architecture and Digital Systems (CADSD), pp. 162-165, 2012.

[۱۸] علی کریمی لنجی و منیره هوشمند، "کاهش تعداد گیت‌های مورد نیاز برای کدگذاری کدهای پایدارساز بلوکی کوانتومی"، ارائه شده در بیست و یکمین کنفرانس مهندسی برق ایران، دانشگاه فردوسی مشهد، ۱۳۹۲.

[19] Y. Hwang, B.-S. Choi, and M. Jeon, "On the construction of stabilizer codes with an

مراجع

[1] D. Gottesman, "Stabilizer codes and quantum error correction," PhD Thesis, California Institute of Technology, 1997.

[2] A. R. Calderbank, E. M. Rains, P. W. Shor, and N. J. Sloane, "Quantum error correction and orthogonal geometry," Physical Review Letters, vol. 78, p. 405, 1997.

[3] A. R. Calderbank, E. M. Rains, P. W. Shor, and N. J. Sloane, "Quantum error correction via codes over GF (4)," arXiv preprint quant-ph/9608006, 1996.

[4] D. Gottesman, "Class of quantum error-correcting codes saturating the quantum Hamming bound," Physical Review A, vol. 54, p. 1812, 1996.

[5] D. Gottesman, "Stabilizer codes and quantum error correction," arXiv preprint quant-ph/9705052, 1997.

[6] S. A. Aly, A. Klappenecker, and P. K. Sarvepalli, "Primitive quantum BCH codes over finite fields," in 2006 IEEE International Symposium on Information Theory, pp. 1114-1119, 2006.

[7] M. Grassl and T. Beth, "Quantum BCH codes," arXiv preprint quant-ph/9910060, 1999.

[8] M. Grassl, W. Geiselmann, and T. Beth, "Quantum Reed—Solomon Codes," in Applied Algebra, Algebraic Algorithms and Error-correcting Codes, ed: Springer, pp. 231-244, 1999.

[9] H. Ollivier and J.-P. Tillich, "Description of a quantum convolutional code," Physical review letters, vol. 91, p. 177902, 2003.

- for Pearl-Necklace Encoders of Quantum Convolutional Codes," IEEE Transactions on Computers, vol. 61, pp. 299-312, 2012.
- [25] M. Houshmand, S. Hosseini-Khayat, and M. M. Wilde, "Minimal-memory, noncatastrophic, polynomial-depth quantum convolutional encoders," IEEE Transactions on Information Theory, vol. 59, pp. 1198-1210, 2013.
- arbitrary binary matrix," Quantum information processing, vol. 12, pp. 467-479, 2013.
- [20] D. M. Nguyen and S. Kim, "Construction and complement circuit of a quantum stabilizer code with length 7," in Eighth International Conference on Ubiquitous and Future Networks (ICUFN), pp. 332-336, 2016.
- [21] M. A. Nielsen and I. L. Chuang, Quantum Computation and Quantum Information: Cambridge university press, 2001.
- [22] D. E. Goldberg, Genetic Algorithms in Search, Optimization and Machine Learning: Addison-Wesley Longman Publishing Co., Inc., 1989.
- [23] D. E. Goldberg, Genetic algorithms: Pearson Education India, 2006.
- [24] M. Houshmand, S. Hosseini-Khayat, and M. M. Wilde, "Minimal-Memory Requirements